Влияние угла наклона на нагрев полярной шапки радиопульсара J0901-4046

© Д.П. Барсуков, А.Н. Попов

Физико-технический институт им. А.Ф. Иоффе РАН, 194021 Санкт-Петербург, Россия e-mail: bars.astro@mail.ioffe.ru

Поступило в Редакцию 4 мая 2025 г. В окончательной редакции 17 июля 2025 г. Принято к публикации 17 июля 2025 г.

Рассмотрено влияние угла наклона радиопульсара J0901-4046 на нагрев его полярной шапки обратным током позитронов.

Ключевые слова: радиопульсары, нейтронные звезды, позитроны.

DOI: 10.61011/JTF.2025.12.61789.233-25

Введение

Радиопульсар J0901-4046 является в настоящее время наиболее медленно вращающимся "нормальным" радиопульсаром среди известных [1]. Период его вращения составляет $P = 75.89 \,\mathrm{s}$ [1,2]. Темп уменьшения его периода составляет $\dot{P} = 2.25 \cdot 10^{-13}$ [1,2], что дает оценку напряженности дипольного магнитного поля на поверхности нейтронной звезды в районе магнитного полюса $B_{dip} \approx 2.6 \cdot 10^{14} \, \mathrm{Gs}$ [1,2]. Его характеристический возраст, оцененный по темпу торможения, составляет $\tau \approx 5.3 \cdot 10^6 \, {\rm year} \, [1,2]$. В работе [3] было предложено объяснение работы радиопульсара Ј0901-4046 в рамках предположения, что стандартный метод оценки напряженности дипольного поля приводит к сильному занижению его значения. В рамках предложенного объяснения предполагалось (см. [3,4]), что радиопульсар близок к ортогональному, т.е. угол наклона $\chi \approx 90^\circ$. Схожее объяснение работы этого радиопульсара было предложено в работе [5]. Однако в работе [5] после тщательного анализа свойств радиоизлучения этого пульсара было показано, что угол его наклона на самом деле очень мал $\chi \approx 10^\circ$, т.е. пульсар близок к соосному. При этом в работе было показано, что напряженность дипольного поля у него превышает полученную по темпу торможения оценку $B_{dip} \approx 2.6 \cdot 10^{14} \, \mathrm{Gs} \, [1,2]$ почти на два порядка $B_{dip} \gtrsim 2.5 \cdot 10^{16} \, \mathrm{Gs}$ [5]. Также стоит отметить, что оценка угла наклона χ по ширине импульса, при использовании аппроксимации минимальной ширины импульса, взятой из работы [6], дает для этого радиопульсара скорее значение $\chi \sim 40^{\circ} - 60^{\circ}$. Впрочем, недавно в работе [7] было показано, что свойства радиоизлучения у долгопериодических радиопульсаров обладают рядом особенностей заметно отличающих их от остальных "нормальных" радиопульсаров. И поэтому, возможно, применение стандартных методик оценки угла наклона х по ширине импульса, например [6,8], возможно является некорректным. В настоящей работе мы продолжаем развивать альтернативную модель, объясняющую работу

радиопульсара J0901-4046. Мы предполагаем, что величина его дипольного магнитного поля соответствует значению, определяемому стандартным методом по темпу торможения $B_{diP}\approx 2.6\cdot 10^{14}{\rm Gs}$ [1,4]. Но предполагаем, что на поверхности нейтронной звезды присутствует крайне мелкомасштабное магнитное поле с характерным масштабом $\sim 500\,{\rm m}$ и с напряженностью, сравнимой с дипольным магнитным полем.

1. Модель

Параметризация мелкомасштабного поля у поверхности нейтронной звезды и вычисление нагрева полярной шапки обратным током позитронов, как и нахождения количества образовавшихся не связанных позитронов, делаются точно также как в работе [9]. При этом учитывается, что в столь сильном магнитном поле электрон-позитронные пары рождаются в связанном состоянии (позитроний). Величина мелкомасштабного поля B_{sc} на поверхности нейтронной звезды в окрестностях полярной шапки в настоящей работе считалась равной $B_{sc} = 0.7 \cdot B_{dip}$. Такой выбор напряженности мелкомасштабного поля для рассматриваемых в настоящей работе его конфигураций является оптимальным, обеспечивая наибольший интервал возможных прочих параметров конфигурации мелкомасштабного поля, при которых пульсарный диод работает. В случае уменьшения или увеличения его напряженности данная область сужается. Радиус полярной шапки у пульсара J0901-4046 $r_{pc} = r_{ns} \cdot \sqrt{\Omega \, r_{ns}/c} \cdot \sqrt{B_{dip}/B_{surf}}$ составляет всего лишь $r_{pc}\sim 14\,\mathrm{m}$ для $B_{sc}=0.7\cdot B_{dip}$, где r_{ns} — радиус нейтронной звезды, B_{surf} — напряженность магнитного поля на поверхности нейтронной звезды и $\Omega = 2\pi/P$ ее угловая скорость вращения. Даже в самом лучшем рассмотренном случае $\delta = 0.04 \cdot r_{ns}$ (описание этого параметра конфигурации мелкомасштабного поля смотри в [9]) фотоны с горячей полярной шапки дают менее 10% от общего количества фотоионизированных позитрониев. Поэтому в настоящей работе, как

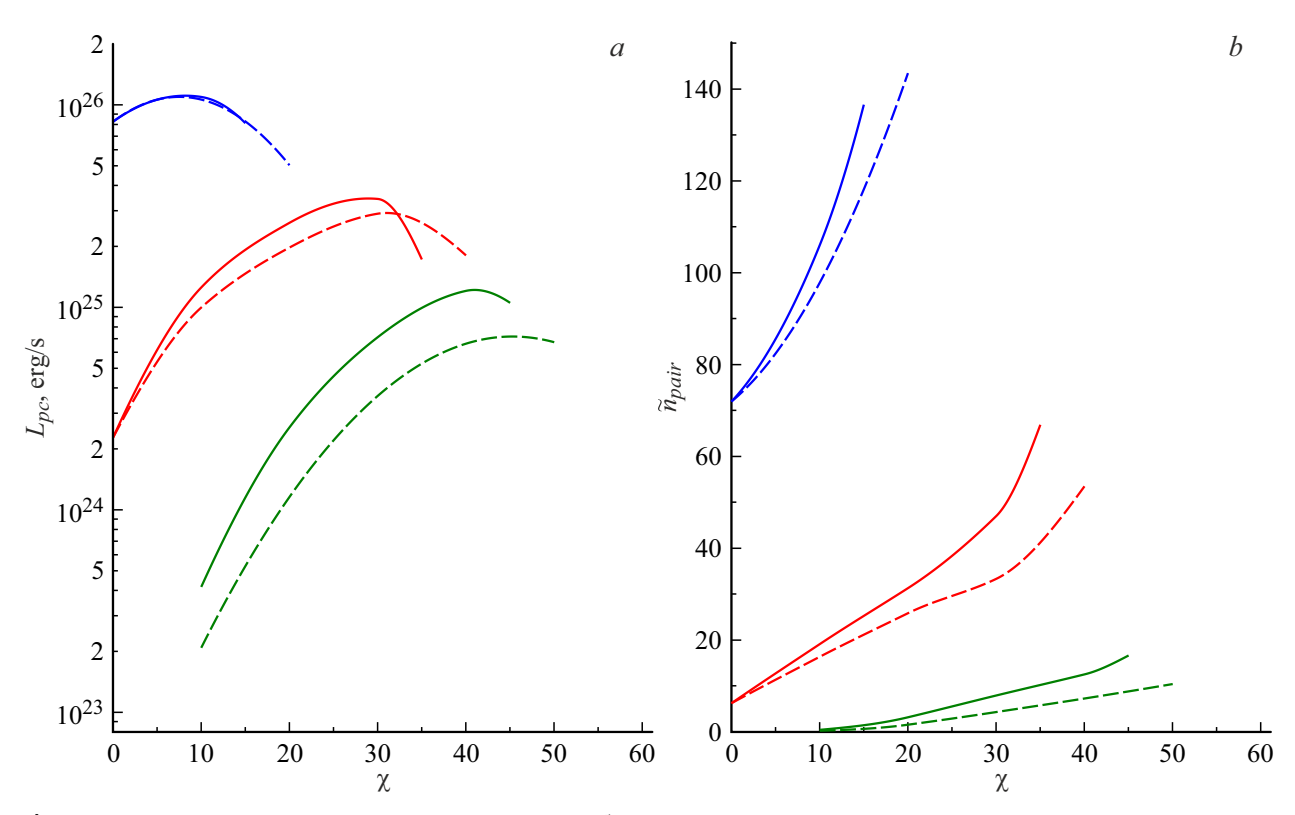


Рис. 1. a — зависимость темпа нагрева полярной шапки обратным током позитронов L_{pc} от угла наклона радиопульсара χ для случая температуры звезды $T_{surf} = 10^6$ К. b — аналогичная зависимость для концентрации образовавшихся несвязанных электронпозитронных пар n_{pair} . Величина L_{pc} приведена в erg/s, величина n_{pair} в единицах $(\Omega B)/(2\pi ce)$, угол наклона χ в градусах. Зеленые кривые соответствуют конфигурации мелкомасштабного магнитного поля, для случая $\delta = 0.02 \cdot r_{ns}$, красные — для случая $\delta=0.03\cdot r_{ns}$ и синие кривые — для случая $\delta=0.04\cdot r_{ns}$. Сплошные кривые соответствуют случаю $\phi_{\Omega}=0$, штриховые случаю $\phi_{\Omega} = \pi/5$ (описание обозначений см. в [9]).

и в работе [9], мы будем пренебрегать их вкладом в фотоионизацию позитрониев и будем считать, что все позитронии ионизируются тепловым излучением с поверхности нейтронной звезды. При этом для простоты мы пренебрегаем возможной аннигиляцией позитрония, что соответствует случаю f = 1 в [10] (описание обозначения величины f см. в [10]). К сожалению в настоящее время температура поверхности T_{surf} нейтронной звезды пульсара J0901-4046 не измерена. Известен только верхний предел на полную рентгеновскую светимость $L_X \lesssim 3.2 \cdot 10^{30} \, {\rm erg/s}$ [1]. Поэтому в настоящей работе мы рассматриваем в качестве возможных значений температуры $T_{surf} = (1-3) \cdot 10^5 \, \text{K}$, что не противоречит данному пределу. Данный выбор интервала температур был мотивирован тем, что радиопульсар В0950+08 имеет характеристический возраст $\tau \approx 17.5 \cdot 10^6$ year [2], т. е. можно ожидать, что его реальный возраст сравним с возрастом пульсара J0901-4046. При этом для него известна температура поверхности нейтронной звезды $T_{surf} = (1-3) \cdot 10^5 \,\mathrm{K}$ [11]. Поэтому мы вполне можем ожидать подобную температуры поверхности и у нейтронной звезды пульсара J0901-4046. Исходя из этого в настоящей работе мы рассмотрели 3 возможных значения температуры $T_{surf} = 1, 2$ и $3 \cdot 10^5$ K.

Результаты

На рис. 1-3 показаны зависимости нагрева полярной шапки пульсара L_{pc} обратным током позитронов, текущим через диод внутреннего зазора, и концентрации образовавшихся несвязанных электрон-позитронных пар n_{pair} от угла наклона радиопульсара χ . Рис. 1 соответствует случаю, когда температура поверхности нейтронной звезды равна $T_{surf} = 1 \cdot 10^5 \,\mathrm{K}$, рис. 2 — случаю $T_{surf} = 2 \cdot 10^5 \,\mathrm{K}$, а рис. 3 — случаю $T_{surf} = 3 \cdot 10^5 \,\mathrm{K}$. Величина L_{pc} определена как количество энергии в единицу времени, которое сообщают полярной шапке ударяющиеся об ее поверхность позитроны обратного тока. Концентрация электрон-позитронных пар n_{pair} вычисляется на больших высотах, где уже прекратилась генерация пар и не происходит разворота позитронов. Она показана в безразмерных единицах \tilde{n}_{pair} , где $n_{pair} = \tilde{n}_{pair} \cdot (\Omega B)/(2\pi ce)$ и B — напряженность магнитного поля. Стоит отметить, что в области, где уже не рождаются пары и практически прекратился разворот позитронов, величина \tilde{n}_{pair} будет постоянна вдоль магнитных силовых линий. При этом, разумеется, концентрация пар n_{pair} убывает с ростом высоты над поверхностью звезды по мере уменьшения напряжен-

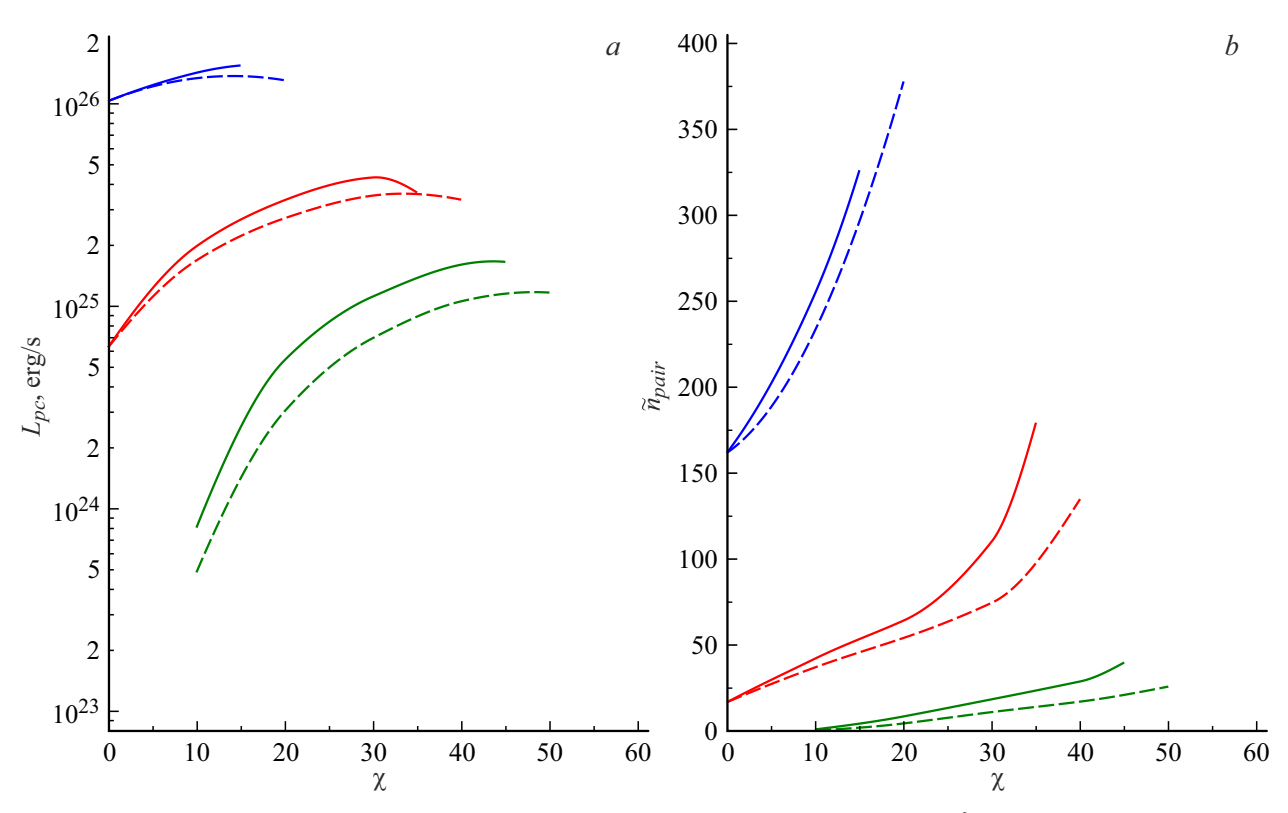


Рис. 2. То же самое, что на рис. 1, но для случая $T_{surf} = 2 \cdot 10^6 \, {
m K}.$

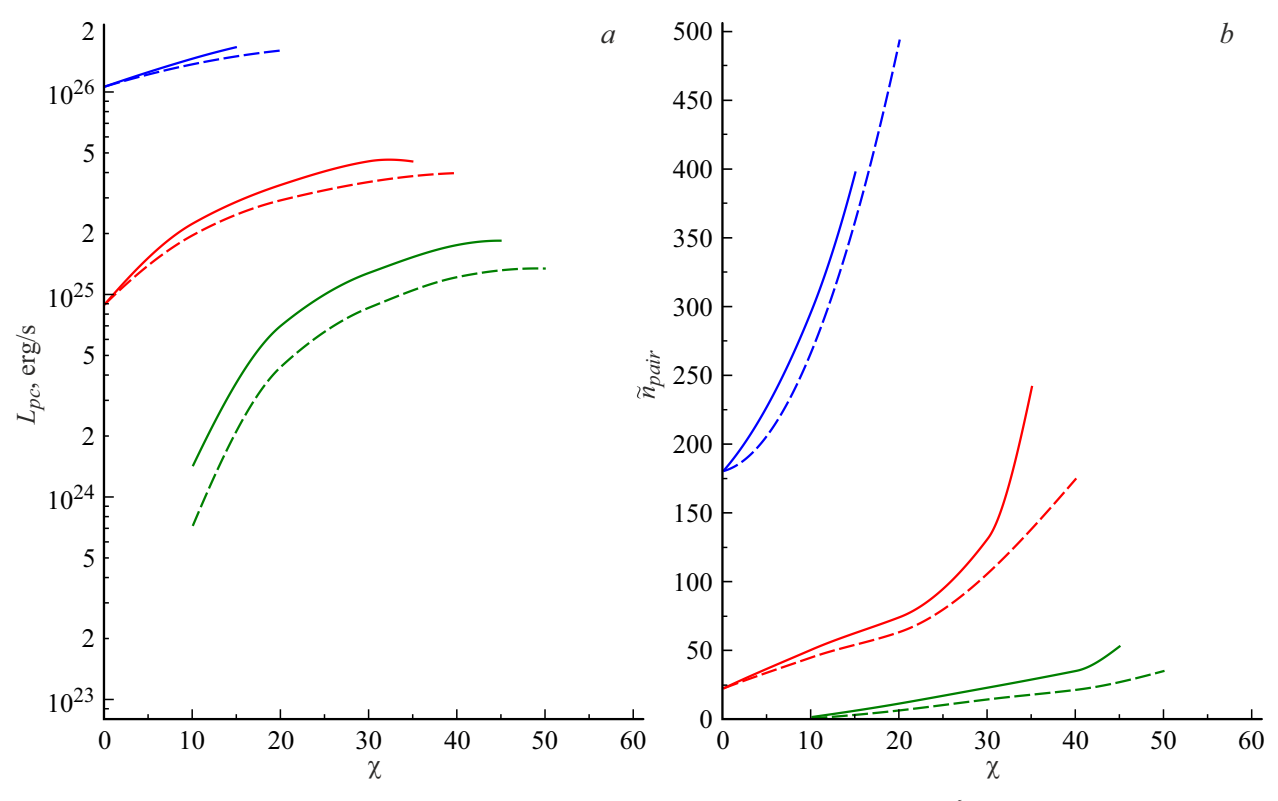


Рис. 3. То же самое, что на рис. 1, но для случая $T_{surf} = 3 \cdot 10^6 \, \mathrm{K}.$

ности магнитного поля B. Из рисунков видно, что пока внутренний зазор работает, нагрев полярной шапки

обратным током позитронов практически не зависит от температуры T_{surf} поверхности нейтронной звез-

ды. Напротив, количество образовавшихся несвязанных пар n_{pair} зависит от температуры поверхности очень сильно. Так, для случая $\delta = 0.04 \cdot r_{ns}$ уменьшение температуры звезды с $T_{surf} = 3 \cdot 10^6$ до 10^6 K приводит к уменьшению числа пар в 3 раза (описание обозначения δ см. в [9]). Однако стоит обратить внимание, что при этом концентрация тепловых рентгеновских фотонов от звезды вблизи поверхности полярной шапки падает в 27 раз. И, следовательно, можно сказать что "эффективность фотоионизации" пар возрастает почти на порядок. Стоит также отметить, что и нагрев полярной шапки L_{pc} и количество несвязанных пар n_{pair} гораздо сильнее зависит от конфигурации мелкомасштабного магнитного поля, чем от температуры поверхности (рис. 1-3). При $\chi < 10^\circ,~\delta = 0.02 \cdot r_{\it ns}$ и всех рассмотренных значениях температур радиопульсар J0901-4046 выключен, поскольку интенсивность рождения пар очень мала $\tilde{n}_{pair} \lesssim 10^{-2}$.

Благодарности

Авторы благодарят А.И. Цыгана, И.Ф. Малова Д.Н. Собьянина за поддержку, комментарии обсуждения. Авторы полезные благодарят А.И. Чугунова, В.М. Конторовича, Д.А. Румянцева, В.А. Урпина и С.В. Бобашева за полезные замечания и советы.

Конфликт интересов

Авторы заявляют, что у них нет конфликта интересов.

Список литературы

- [1] M. Caleb, I. Heywood, K. Rajwade, M. Malenta, B.W. Stappers, E. Barr, W. Chen, V.T. Morello, S. Sanidas, J. van den Eijnden, M. Kramer, D. Buckley, J. Brink, S.E. Morra, P. Woudt, P. Weltevrede, F. Jankowski, M. Surnis, S. Buchner, M.Ch. Bezuidenhout, L.N. Driessen, R. Fender. Nature Astronomy, 6, 828 (2022).
- [2] R.N. Manchester, G.B. Hobbs, A. Teoh, M. Hobbs. Astronom. J., 129 (4), 1993 (2005). DOI: 10.1086/428488
- [3] V.S. Beskin, A.Yu. Istomin. MNRAS, 516 (4), 5084 (2022).DOI: 10.1093/mnras/stac2423
- [4] E.M. Novoselov, V.S. Beskin, A.K. Galishnikova, M.M. Rashkovetskyi, A.V. Biryukov. MNRAS, 494 (3), 3899 (2020). DOI: 10.1093/mnras/staa904
- [5] D.N. Sob'yanin. Phys. Rev. D, 107 (8), id. L081301 (2023).DOI: 10.1103/PhysRevD.107.L081301
- [6] И.Ф. Малов, Е.Б. Никитина. Астроном. журн., **88** (10), 954 (2011). [I.F. Malov, E.B. Nikitina. Astronomy Reports, **55** (10), 878 (2011). DOI: 10.1134/S1063772911100076]
- [7] И.Ф. Малов. Астроном. журн., **101** (7), 625 (2024). [I.F. Malov. Astronomy Reports, **68** (7), 657 (2024). DOI: 10.1134/S1063772924700665]
- [8] J.M. Rankin. ApJ, **352**, 247 (1990). DOI: 10.1086/168530
- [9] D.P. Barsukov, A.A. Matevosyan, I.K. Morozov, A.N. Popov, M.V. Vorontsov. J. Phys.: Conf. Series, 2103 (1), id. 012034 (2021). DOI: 10.1088/1742-6596/2103/1/012034

- [10] D.P. Barsukov, M.V. Vorontsov, I.K. Morozov. J. Phys.: Conf. Series, 1697 (1), id. 012021 (2020).
 DOI: 10.1088/1742-6596/1697/1/012021
- [11] G.G. Pavlov, B. Rangelov, O. Kargaltsev, A. Reisenegger,
 S. Guillot, C. Reyes. ApJ, 850 (1), id. 79 (2017).
 DOI: 10.3847/1538-4357/aa947c